

# 창립

40주년 학술대회

논문 87-J-20-3

적용 제어를 이용한 동기형 그룹 서보 전동기의 속도 제어

윤재웅, 송중호, 김광배  
한국과학기술연  
전기제어연구실

Synchronous AC servo motor speed control using  
adaptive control scheme

Tae-Woong Yoon, Joong-Ho Song, Kwang-Bae Kim  
Power Controls Lab./ Korea Advanced Institute of Science and Technology

## ABSTRACT

In this paper, an adaptive control scheme is applied to the speed control system of a synchronous AC servo motor. The adaptive control system using Ioannou's modified adaptation law is shown to be robustly stable in the presence of current control error and load torque disturbance. The computer simulation demonstrates the rapid compensation of rotor speed deviation due to load torque disturbance.

## 1. 서론

본 논문에서는 hysteresis on/off control 방식으로 고정자 전류를 제어하는 PWM inverter - 동기형 그룹 서보 전동기 시스템의 속도 제어 투우프에 적용 제어( Adaptive Control ) 이론을 도입해 봄으로써 적용 제어 이론 적용의 가능성 및 안정성을 검토하기로 한다.

적용 제어는 제어 대상의 매개 변수를 확실히 모르거나 혹은 시간이나 주변 상황에 따라 변화하는 경우에도 원하는 제어 목적을 오직적으로 수행할 수 있도록 적용적으로 제어 개수를 변화시키는 제어 방식으로서, 최근에는 주로 적용 제어 투우프의 강인성( Robustness ) 문제에 논의의 초점이 모아지고 있다.

전동기 구동 시스템의 적용 제어에 있어서도 역시 강인한- 모델링 오차나 외란의 존재에도 안정성을 유지할 수 있는- 제어 투우프의 구성이 중요한 문제로 부각되는 데, 기존의 제어 방식에서처럼 1)· 2) 부아의 변동을 단순히 전동기 상수의 변화로 취급하거나 전류 제어 투우프의 등특성이거나 오차를 무시하는 경우에는 제어개수의 표류( drift ) 현상<sup>3)</sup> 등으로 전체 시스템이 불안정하게 될 가능성이 높아지게 된다. 따라서 본 논문에서는 부아의 변동

이나 전류 제어 오차에 대해서 강인성을 갖는 적용 제어 시스템의 구성을 위하여 Ioannou<sup>4)</sup>에 의해 수정된 (S-modified) 적용법칙을 사용하고 그 결과 전체 적용 제어 시스템이 안정성을 유지하면서 부아 변동에도 기인하게 적용 함을 보인다.

## 2. 동기형 그룹 서보 전동기의 모델과 고정자 전류 제어

고정자의 a 상 권선에 의한 저항과 흑전자의 d 축이 이루는 전기각을 θ라 하면 전동기는 다음과 같은 식으로 표현된다.

$$V_a = R_{ia} + L_s \frac{di_a}{dt} - \frac{d}{dt} W_{re} \sin \theta$$

$$V_b = R_{ib} + L_s \frac{di_b}{dt} - \frac{d}{dt} W_{re} \sin(\theta - \frac{2}{3}\pi)$$

$$V_c = R_{ic} + L_s \frac{di_c}{dt} - \frac{d}{dt} W_{re} \sin(\theta + \frac{2}{3}\pi) \quad (1)$$

$$T_e = -\left(\frac{P}{2}\right) \frac{d}{dt} [i_a \sin \theta + i_b \sin(\theta - \frac{2}{3}\pi) + i_c \sin(\theta + \frac{2}{3}\pi)]$$

단 Va,b,c : 상전압, ia,b,c : 상전류, P: 극수

R : 고정자 저항

Ls : 고정자의 자기인덕턴스 (동기 인덕턴스)

Wre : 흑전자의 전기 각속도

$\frac{d}{dt}$  : 영구 자석에 의한 고정자의 쇄고 자속

Te : 발생 토크

(1)을 정지한 2축 ( α-θ 축 ) 으로 변환하면

$$V_d = R_{id} + L_s \frac{di_d}{dt} - \frac{d}{dt} W_{re} \sin \theta$$

$$V_q = R_{iq} + L_s \frac{di_q}{dt} - \frac{d}{dt} W_{re} \cos \theta \quad (2)$$

$$T_e = \frac{3}{2} \left(\frac{P}{2}\right) \frac{d}{dt} (-i_d \sin \theta + i_q \cos \theta)$$

이 되며 이를 다시 흑전자의 d-q 축으로 변환하면 다음과 같아진다.

$$V_d = R_{id} + L_s \frac{di_d}{dt} - W_{re} L_s i_q$$

## 적용 제어를 이용한 동기형 교류 서어보 전동기의 속도제어

$$V_q = Riq + L_s \frac{di_q}{dt} + W_{re} i_d + W_{re} \dot{\theta} \quad (3)$$

$$T_e = \frac{3}{2} \left( \frac{P}{2} \right) \frac{1}{2} i_q$$

아울러  $i_a$ ,  $i_b$ ,  $i_c$  와  $i_d$ ,  $i_q$  그리고  $\dot{i}_d$ ,  $\dot{i}_q$  와  $i_d$ ,  $i_q$  사이에는

$$\dot{i}_{abc} = C_{abc}(\theta) \dot{i}_{dq} \quad C_{abc}(\theta) = \begin{bmatrix} \cos\theta & -\sin\theta \\ \sin\theta & \cos\theta \\ \cos(\theta - \frac{2}{3}\pi) & -\sin(\theta - \frac{2}{3}\pi) \\ \cos(\theta + \frac{2}{3}\pi) & -\sin(\theta + \frac{2}{3}\pi) \end{bmatrix} \quad (4)$$

$$\dot{i}_{abc} = C_{abc}(\theta) \dot{i}_{dq}, \quad C_{abc}(\theta) = \begin{bmatrix} \cos\theta & -\sin\theta \\ \sin\theta & \cos\theta \end{bmatrix} \quad (5)$$

의 관계가 성립한다.

만약 (3)에서 알 수 있듯이  $T_e$  는  $i_q$  와 비례관계를 갖는다. 따라서  $i_q$ 의 제어를 통해 전동기의 토크를 제어해 줄 수 있게 되는데,  $i_q$ 의 지령치 및 측정치 지령치(약제자 원인의 경우)가 정해지면 (4), (5)의 관계를 통해  $\dot{i}_{abc}$  혹은  $\dot{i}_{dq}$ 의 지령치가 결정된다.

그리하여 전류 제어의 문제는  $\dot{i}_{dq}$ 의 지령치  $\dot{i}_{dq}^*$  가 주어졌을 때  $C_{abc}(\theta) \dot{i}_{dq}^* - \dot{i}_{abc}$  혹은  $C_{abc}(\theta) \dot{i}_{dq}^* - \dot{i}_{abc}$  를 어느 좋은 범위 내내 유지시키도록  $V_{abc}$  혹은  $V_{dq0}$  를 결정하는, 즉, PWM inverter에서의 Switching pattern 을 결정하는 문제로 귀착된다.

본 논문에서는 다음 그림과 같이 각상을 Hysteresis on/off control 하는 전류 제어 방식을 사용하였다.

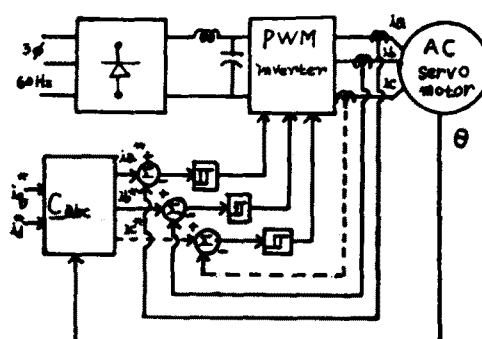


그림 1. 전류 제어 인버터의 블록 선도

### 3. 전류 제어 PWM inverter - 동기형 교류 서어보 전동기의 적용 제어

전체 속도 제어 시스템은 그림 2와 같은 기준 모델 형 적용 제어(Model Reference Adaptive Control) 구조를 갖는다.

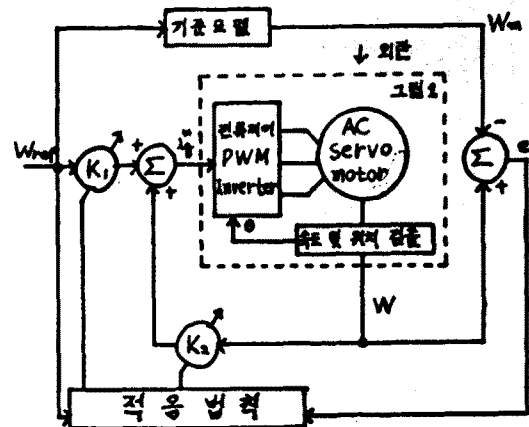


그림 2. 전동기 속도의 기준 모델형 적용 제어

그림 2에서 기준 모델은 원하는 제어 성능, 즉, 제어 목적의 수학적 표현으로서, 전체 적용 제어 시스템은 전동기의 속도  $W$  가 이 기준 모델의 출력  $W_m$  과 같아지도록 적절한 적용 법칙을 통해 제어 계수  $K_1$ ,  $K_2$  를 변화시켜간다.

만약 제어 대상인 전류 제어 PWM inverter - 동기형 교류 서어보 전동기의 입·출력 방정식은 다음과 같이 표현된다.

$$K_T \dot{i}_q - T_L = J \frac{dW}{dt} + BW \quad (6)$$

단  $K_T = \frac{3}{2} \left( \frac{P}{2} \right) \frac{1}{2}$ ,  $J$  는 관성모멘트,  $B$  는 마찰계수

이제 전류 제어 오차를  $\Delta i_q$ , 즉,  $i_q = i_q^* + \Delta i_q$  라 하면 다음의 식이 성립한다.

$$\dot{W} = -aw + b_1 \dot{i}_q^* + b_2 \Delta i_q - b_3 T_L \quad (7)$$

$$\dot{i}_q^* = K_1 W_{ref} + K_2 W \quad (8)$$

$$\text{단 } a = \frac{B}{J}, \quad b_1 = \frac{K_T}{J}, \quad b_2 = \frac{1}{J}$$

(7)에서  $\Delta i_q$ ,  $T_L = 0$  으로 하면, 즉, 이상적인 전류 제어기를 가정하고 부하를 무시하거나 아니면 단순한 토크 상수( $K_T$ )의 변화로 생각하면, 전체 적용 시스템은 불안정성이의 가능성을 지니게 된다. 다시 말해 외란(여기서는  $\Delta i_q$ ,  $T_L$ )이 없다는 가정하에 설계된 적용 제어 시스템은, 외란이 존재하는 경우에 제어 계수들이 표류(drift) 할 가능성을 갖게 되는 등 전체적으로 강인하지 못한 제어시스템이 될 수 있다. 따라서 본 논문에서는 외란이 있는 경우에도 안정성을 유지할 수 있도록 다음과 같은 Ioannou<sup>4)</sup>의 수정된 적용 법칙(modified adaptation law)을 사용하였다.

$$\dot{K}_1 = -\sigma K_1 - \Gamma_1 W_{ref}$$

$$\dot{K}_2 = -\sigma K_2 - \Gamma_2 W$$

$$\text{단, } \sigma = W - W_m, \quad \Gamma_1, \Gamma_2, \sigma > 0$$

이 수정된 적용 법칙은 기존의 적용 법칙에서의 적용을

제안함으로써 제어계수 들의 폴류 (drift) 또는 발산을 억제한다.

이때 기준 모델의 방정식을

$$\dot{W}_m = -a_m W_m + a_m W_{ref} \quad (10)$$

으로 하면, (7), (8), (10)으로부터 전체 페루우프 시스템의 전달함수가 기준 모델의 전달함수와 같아지기 위한  $K_1, K_2$  가 구해질 수 있으며 그 값을  $K_1^*, K_2^*$  라 하자. 그러면

$$K_1^* = a_m/b_1, \quad K_2^* = (a-a_m)/b_1 \quad (11)$$

이 성립하여, (11)을 이용하여 (7), (8)을 다시쓰면

$$\dot{W} = -a_m W + b_1(K_1-K_1^*)W_{ref} + b_1(K_2-K_2^*)W + b_1K_1 W_{ref} + b_1\Delta q - b_1T_L \quad (12)$$

이 되어 다음과 같은 오차 방정식이 성립한다.

$$\dot{e} = -a_m e + b_1(K_1-K_1^*)W_{ref} + b_1(K_2-K_2^*)W + b_1\Delta q - b_1T_L \quad (13)$$

여기서 다음과 같은 Lyapunov function  $V$  를 고려한다.

$$V = \frac{1}{2b_1}e^2 + \frac{1}{2\pi_1}(K_1-K_1^*)^2 + \frac{1}{2\pi_2}(K_2-K_2^*)^2 \quad (14)$$

(14)를 미분하여 4)에서 막 유사한 방법으로 정리하면

$$\begin{aligned} \dot{V} &= -\frac{\tilde{a}_m}{b_1}e^2 - \frac{\sigma}{\pi_1}(K_1-K_1^*)K_1 - \frac{\sigma}{\pi_2}(K_2-K_2^*)K_2 + (\Delta q - \frac{b_1}{b_1}\tilde{T}_L)e \\ &\leq -\frac{\tilde{a}_m}{b_1}e^2 - \frac{\sigma}{\pi_1}(K_1-K_1^*)^2 - \frac{\sigma}{\pi_2}(K_2-K_2^*)^2 + \frac{\sigma}{\pi_1}K_1^2 + \frac{\sigma}{\pi_2}K_2^2 \\ &\quad + \frac{b_1}{2a_m}D^2 \end{aligned} \quad (15)$$

$$\text{단, } D = \sup_{t \in [0, T]} |\Delta q - \frac{b_1}{b_1}\tilde{T}_L|$$

외부등식이 성립하고, (14)의 양변에  $\sigma$  를 곱한 다음, 이를 (15)에 더하여 다시 정리하면

$$\dot{V} + \sigma V \leq -\frac{1}{2b_1}(a_m-\sigma)e^2 + \frac{\sigma}{\pi_1}K_1^2 + \frac{\sigma}{\pi_2}K_2^2 + \frac{b_1}{2a_m}D^2 \quad (16)$$

이 된다. 따라서  $\sigma < a_m$  의 경우

$$\dot{V} \leq -\sigma V + \frac{\sigma}{\pi_1}K_1^2 + \frac{\sigma}{\pi_2}K_2^2 + \frac{b_1}{2a_m}D^2 \quad (17)$$

이 성립함으로 적용 제어 시스템의 출력 오차 및 제어계수 오차는 다음의 집합  $D_R$  로 수렴한다.

$$D_R = \{e, K_1, K_2 \mid V \leq \frac{K_1^2}{\pi_1} + \frac{K_2^2}{\pi_2} + \frac{b_1}{2a_m}D^2\} \quad (18)$$

아울러 (16)으로부터 출력 오차는 다음의 집합  $D_e$ 로 수렴한다.

$$D_e = \{e \mid e^2 \leq \frac{b_1}{a_m-\sigma}(\frac{\sigma}{\pi_1}K_1^2 + \frac{\sigma}{\pi_2}K_2^2 + \frac{b_1}{2a_m}D^2)\} \quad (19)$$

이상의 논의로 부터 (7), (8), (9), (10)으로 표현되는 적용 제어 시스템은 유한한 익란 (전류 오차와 부하)에 대해 강인한 제어 시스템임을 알 수 있다.

#### 4. 시뮬레이션

그림 2의 적용 제어 시스템을 VAX 11/730으로 시뮬레이션하였으며 제어 대상 전동기의 상수 및 인버터의 DC 전압은 표 1과 같다.

표 1. 전동기 상수 및 인버터의 DC전압

Rated Power	1500(W)	Ls	5.8(mH)
Rated Current	12.6(A)(peak)	$\Phi$	0.35(wb)
Rated Speed	1200(rpm)	P	4
R	0.75(Ω)	Vdc	300(V)
J	50.1(Kg·cm <sup>2</sup> )	B	0.0103(N·m·sec)

시뮬레이션에서는 t=0 일때 600 (rpm)의 기준입력이 인가되고 t=100 (msec) 일때 5.97 (N.m)의 부하가 걸리는 경우, 즉,  $W_{ref} = 600 u_{-1}(t) \cdot T_L = 5.97 u_{-1}(t-100)$ 인 경우를 가정하였으며, 기준 모델의 전달함수는  $\frac{100}{s+100}$  ( $a_m=100$ )로 하였다. 또한 적용 이득  $\Gamma_1, \Gamma_2$  는 모두 1로, 적용 제어계수  $\sigma$  는 0.1로 하였으며, 초기값 제어계수  $K_1, K_2$  의 초기치를 각각 0.5, -0.5로 놓았다. 이경우의 시뮬레이션 결과를 그림 3에 보이는 한편, 기준 방식과의 비교, 검토를 위해 그림 4에 페루우프 시스템의 극 (pole)이 -100 ± j100 이 되도록 설계한 PI 제어의 시뮬레이션 결과를 보았다.

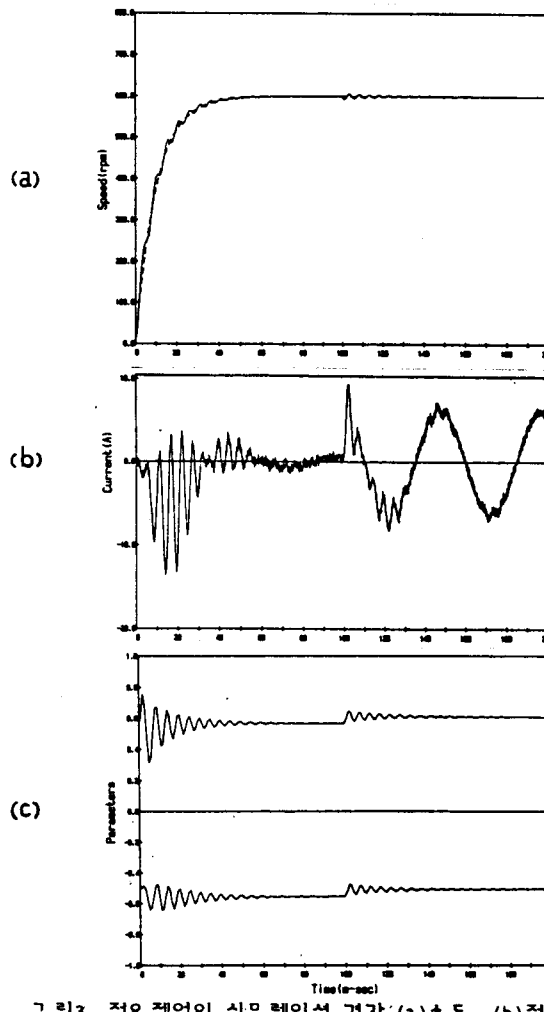


그림 3. 적용 제어의 시뮬레이션 결과: (a) 속도, (b) 전류, (c) 제어계수

## 적용제어를 이용한 동기형 교류 서어보 전동기의 속도제어

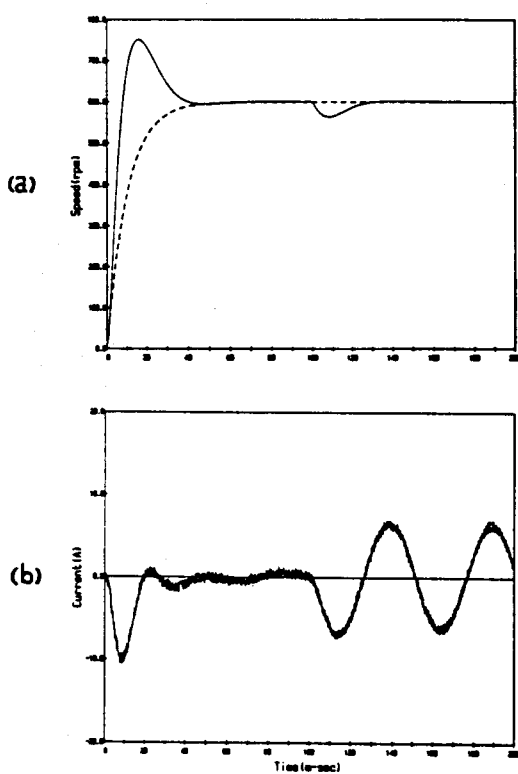


그림4. PI 제어의 시뮬레이션결과 (a)속도  
(b) 전류

시뮬레이션 결과 그림 3(a)에 나타나듯이 전동기의 속도  $W$ 가 기준모델의 출력  $W_m$ 을 잘 추종한다는 사실이 관찰되었으며, 그림 4(a)와 비고할때 부아 변동에 대한 응답성에서 PI 제어가 보다 우수함이 드러났다. 그러나  $K_1$ ,  $K_2$ 의 초기치가  $K_1^*$ ,  $K_2^*$ 와 큰 차이가 있다면 초기 과도상태에서 overshoot 가 큰 응답이 생기게 되는데, 이러한 문제는 당연한 적용제어 일반의 속성이다. 따라서 적용제어 이론을 적용하는 경우에도 제어 대상의 매개변수들에 대해 대략적인 지식은 가지고 있어야 하며 그 지식을 참고로 제어계수들의 초기치를 결정해 주어야 한다.

### 5. 결 론

본 논문에서는 전류제어 PWM inverter로 구동되는 동기형 교류 서어보 전동기의 적용제어에 있어서, Ioannou의 적용법칙을 사용하면 전류제어와 차나부아 변동에 대해 강인한 제어 시스템의 구성이 가능함을 보였다. 또한 컴퓨터 시뮬레이션을 통해, 속도의 적용제어시, 전동기의 속도가 기준

모델의 출력을 잘 추종한다는 사실과 부아 변동에 대한 응답성에서 기존의 PI 제어 방식보다 우수함을 보였다.

그러나 적용제어 시스템에서는 출력의 응답성이 시스템 매개변수들 ( $\Gamma_1$ ,  $\Gamma_2$ ,  $\sigma$ , 그리고  $K_1$ ,  $K_2$ 의 초기치)의 값에 따라 민감하게 변학한다는 단계점을 갖고 있으며, 그에 따라 실제제어 적용에서는 이들 변수의 결정이 중요한 의미를 지니게 될 것이다.

### 참 고 문 헌

- 1) H.Naitoh and S. Tadakuma, "Model Reference Adaptive Control Based Dc Motor Speed Controller", IECON'84, pp.474-479, 1984.
- 2) 김종완, 박준렬, 최계근, "Explicit MRAC 알고리즘을 이용한 직류 전동기 속도 제어", 전자공학회지, 제 20권, 제6호, pp.11-17, 1983년 11월.
- 3) B.Riedle and P.V. Kokotovic, "Disturbance Instabilities in an Adaptive System", Proc. 22nd IEEE C.D.C., pp.988-990, 1983.
- 4) P.A. Ioannou and P.V. Kokotovic, "Instability Analysis and Improvement of Robustness of Adaptive Control", Automatica, Vol.20, No.5, pp.583-594, Sep.1984.